

豊平川の流出解析

正員 北大工 工博 岸 力
正員 // 中尾 欣四郎

1. 流域および資料の概要

対象流域は豊平川、簾舞発電所取入堰より上流で、流域面積 $459.97 (= 460) \text{ km}^2$ である。流域は図-1に示すように豊平川本流、薄別川、白井川および小樽内川流域の4流域に大別される。

出水記録は北海道電力株式会社が測水した簾舞発電所取入堰の越流量および使用水量の和を流量記録として使用した。表-1に示す昭和32年から昭和33年までの8個の出水を対象にした。なお解析に際し定山渓発電所、銚子口取入堰(流域面積 216.85 km^2)における流量を参考とした。

降雨資料は定山渓市街および豊平第一発電所の時間雨量の算術平均を流域平均時間雨量とした。

2. 洪流水出の解析方法

2.1 単位図 おののおのの出水について単位を作り、単位図の Peak 流量および Peak のおくれの時間を表-2に示した。表-2によれば洪水ごとに、Peak 流量および Peak

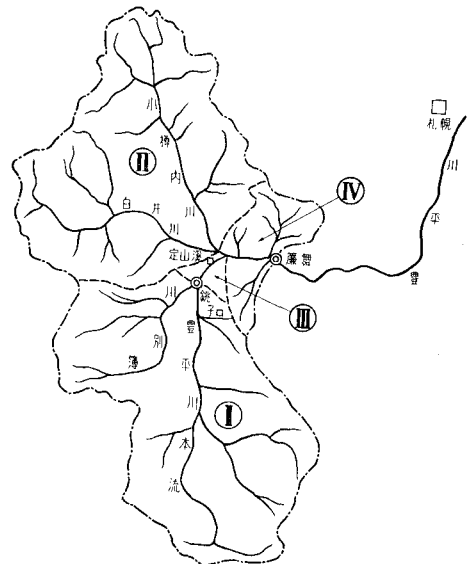


図-1 豊平川(簾舞上流)流域図

表-1

洪水番号	年月日 (昭和)	総雨量 (mm)	初期損失 (mm)	有効雨量 (mm)	Peak 流量 (m^3/sec)	
					直接流出	基底流出
1	32. 8.28~29	74.8	1.6	9.8	120.06	6.73
2	32. 8.29~30	15.8	0	3.8	79.41	23.43
3	32. 9. 8~ 9	29.7	0	2.9	49.54	15.77
4	32. 9.12~13	42.7	3.0	6.4	68.03	14.90
5	32. 9.25~26	33.3	4.8	17.2	241.30	23.34
6	33. 7.23~24	56.6	9.9	5.8	90.40	11.52
7	33. 7.31~8.1	57.9	8.3	10.7	111.78	13.23
8	33. 10. 1~ 3	50.6	2.8	18.9	248.76	19.13

表-2

洪水番号	単位図の Peak 流量 (m^3/sec)	Peak の遅れの時間 (hr)	洪水番号	単位図の Peak 流量 (m^3/sec)	Peak の遅れの時間 (hr)
1	22	4	5	20	2
2	22	2	6	19	6
3	21	4	7	14	6
4	19	2	8	14	4

単位時間 2 hr 単位雨量 1 mm/2 hr

のとすれば、貯留量は流量と流量の減水係数で決まる、流量減水係数は一般には、流量の関係と考えられているから、結局流域の全地下水水量は流出量で表わされることになる。

以上の考察から、図-2 の測定値を流出の初期流量をパラメーターとして整理した、図-2 に見るとおり、初期流量をパラメーターにすれば、雨量と有効雨量との間には、規則性が見出される、図には初期流量 $10 \text{ m}^3/\text{sec}$ 以下、 $10 \sim 20 \text{ m}^3/\text{sec}$ および $20 \text{ m}^3/\text{sec}$ 以上の点を区別して記入してあるが、同一の総雨量に対しても初期流量が大きい程有効雨量が大きい、云いかえれば損失雨量が小さいという傾向が認められる。流出率についても同様の関係があり、資料を整理した結果を図-3 に示した。

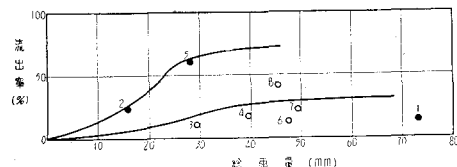


図-3 総雨量と流出率との関係

4. 豊平川の流出解析

4.1 粗度係数の推定 2.2 節で述べたように、特性曲線法による計算を行なうには、山腹斜面の粗度係数を与えることが必要であるが、河川流路の粗度係数と違つて、山腹斜面の粗度係数を推定する資料はほとんどなく、これが計算の手数を増す大きな原因となつている。

筆者らは、特性曲線による計算を必要とする非線型流出は、河川の上流部の比較的小さな流域を対象とする場合が多いことに着目して、次のような粗度係数推定法を試み、計算を著しく簡略化することができた。

簾舞上流の分水界までの流路延長は 32 km 、集水面積 460 km^2 、流域は大部分勾配 $1/5 \sim 1/10$ の山地である。このよ

うな小流域では、流路の流下時間を無視し斜面のみの矩形流域を仮定する。このとき得られる粗度係数 N は、流路を考えた場合の斜面の粗度係数よりも小さな値になるであろう。矩形流域は図-1の流域分割によつて、図-4 のとおり四つの矩形化された流域になる。

図-4 によれば、豊平川本流域 (I) と小樽

内川流域 (II) とが流域の大部分を占め、しかもこの 2 流域は面積、勾配、斜面幅ともよく似た値をもつてゐる。したがつて第一近似としては、対象流域を一つの矩形流域みなすことができる、豊平川では地形的にこのような近似が許されたのであるが、各分割流域がそれぞれ異なつていれば、全体を荷重平均した矩形流域を想定することになろう。

このように全流域を一括して考えれば、流出の始点から頂点流量までの流出の上昇時間 t_g に注目して粗度係数 N の近似値を求めることができる。簾舞の流出曲線を調べると、頂点流量が降雨終了直後に生じている例が多かつた、このような場合には、石原・高棹によれば t_g は、

$$t_g = \left(\frac{N}{\sqrt{I}} \right)^{1/P} \cdot B^P \cdot r_m^{(P-1)} \quad \dots \dots \dots \quad (6)$$

t_g = 流出の上昇時間

B = 斜面の流下幅

r_m = 平均雨量強度

表-3 に示した簾舞の実測値で、 t_g と r_m との関係を調べると図-5 の結果が得られる。頂点流量の大小によつて t_g と r_m との関係が分れるが、豊平川簾舞上流のように河道貯溜のほとんどない山地流域では、(6) 式が良く適合する。

しかも $t_g \propto r_m^{-0.4}$ となつたから $P=0.6$ である。

$B=2,500 \text{ m}$, $I=0.185$, $P=0.6$ となり、(6) 式によつて洪水 1, 2, 4, 5, 6, 7, 8 について N を計算すれば表-3 のようになる。

洪水例 No. 1, 5, 7, 8 は $Q_p=110 \sim 250 \text{ m}^3/\text{sec}$ で、各々

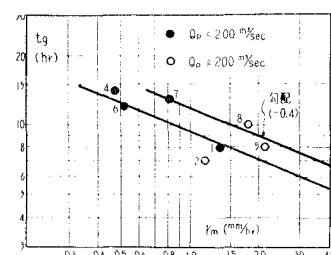


図-5 平均雨量と到達時間関係図

表-3

洪水番号	t_g (hr)	r_m (mm)	N (m·sec)
1	8	1.35	0.35
2	7	1.15	0.31
4	14	0.48	0.39
5	8	2.19	0.40
6	12	0.52	0.36
7	13	0.82	0.41
8	10	1.82	0.44

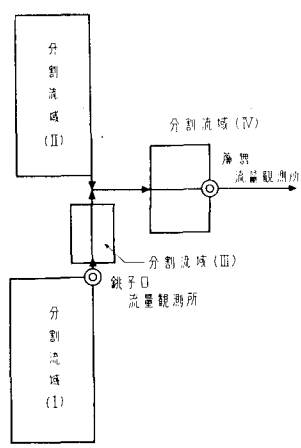


図-4 流域矩形模型図

の計算値の平均は $\bar{N}=0.40$ となる、洪水例 No. 2, 4, 6 は $Q_P=70\sim90 \text{ m}^3/\text{sec}$ で $\bar{N}=0.35$ である。

No. 3 の洪水は資料不備のため除外した。

4.2 特性曲線法による計算方法 今洪水例 No. 5 で流域 III の場合について、計算例を示す。有効雨量は図-6 に示すとおりであつた。流域 III は斜面流下幅, $B=845\text{ m}$, 斜面勾配, $I=0.250$ である。 $N=0.3$ とすれば、(5) 式によつて、

$$K = \left(\frac{N}{\sqrt{I}} \right)^P = \left(\frac{0.3}{\sqrt{0.25}} \right)^{0.6} = 0.736$$

である。(3-b), (4-b) の式を斜面の式として再記すれば、

$$\log t = \log K + \log x + (P-1) \log q \quad \dots \dots \dots \quad (5)$$

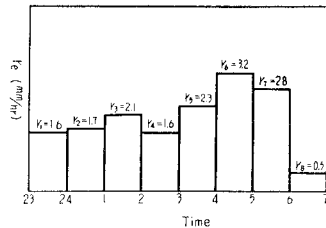


図-6 有効雨量

$$\log t = \log K - \log \alpha r + P \log q \quad \dots \dots \dots \quad (6)$$

$\alpha = \text{mm/hr}$ を m/sec に換算する係数 = 0.2778×10^{-6}

(5), (6) 式の常数 K , P , α が決り, x および r をそれぞれ
セパラメーターにとれば図-7 となる。

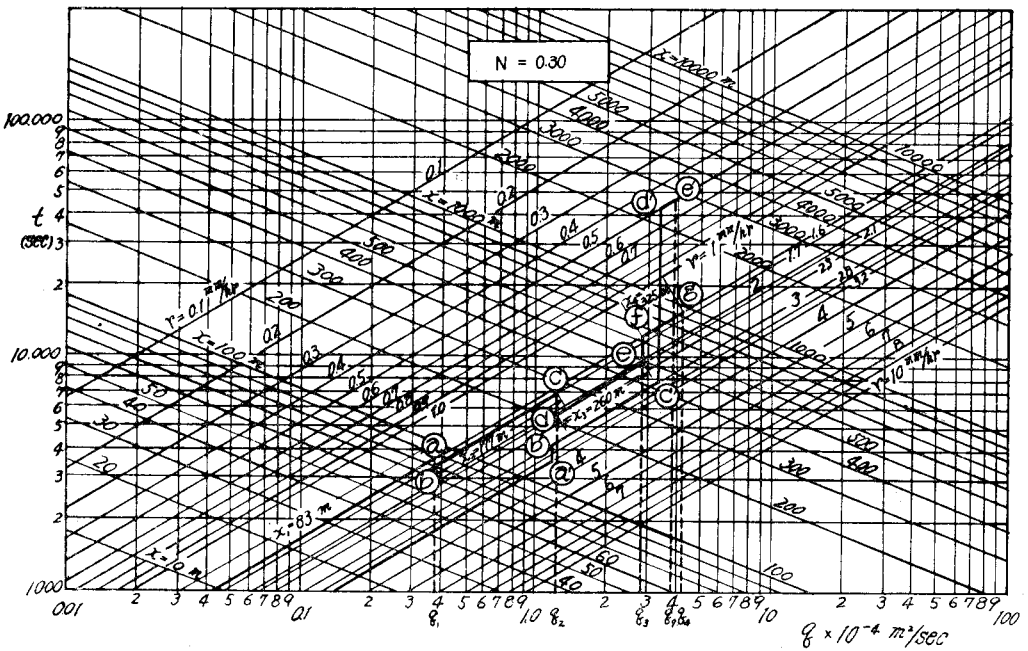


図-7 等価流域斜面(III)の標準特性流量曲線

雨がやんだあと、

q をパラメーターとして、 勾配 $PK=0.448$ の直線群を描き 図-8 となる。

図-7 の標準特性流量曲線および図-8 の標準特性直線で、図-6 の有効雨量について、流量を算定する。

雨量 $r_1=1.6 \text{ mm/hr}$ が 23 時から降り始めるので、雨水は同時刻に斜面上流端を出発する、そこで図-7において $r=1.6 \text{ mm/hr}$ の線上を t が 0 から 1 時間 (3,600 秒) 経過した点 a までたどる。このときの流量は $q_1=0.37 (\times 10^{-4} \text{ m}^3/\text{sec})$ 流下距離 $x_1=83 \text{ m}$ である。更に a 点 (24 時) で雨量が $r_2=1.7 \text{ mm/hr}$ に変るから、点 a より垂直におろして、 $r_2=1.7 \text{ mm hr}$ の線上 b 点に移り、この点より $r_2=1.7$

mm/hr の線上をたどつて、1 時間経過した点 c に達する。このときの流量 $q_2 = 1.24 (\times 10^{-4} \text{ m}^2/\text{sec})$ 、流下距離は $(x_1 + x_2) = 83 \text{ m} + 177 \text{ m}$ で、斜面流下幅 $B (= 845 \text{ m}) > x_1 + x_2$ 、であるから更に計算を続ける。1 時で雨量が変るから、c 点より $r = 2.1 \text{ mm/hr}$ の線上の点 d に移り、この線上をたどつて 1 時間経過した点 e に達する、 $q_3 = 2.8 (\times 10^{-4} \text{ m}^2/\text{sec})$ でこのときの流下距離は、 $x_1 + x_2 + x_3 = 83 \text{ m} + 177 \text{ m} + 260 \text{ m} = 520 \text{ m}$ で更に 2 時から、 $r = 1.6 \text{ mm/hr}$ の線上をたどり、 $B - 520 \text{ m} = 325 \text{ m}$ を流下して g 点達し、流下時間は 3,400 秒である。すなわち 23 時に斜面上流端を出発した雨水が 3 時間 57 分後の 2 時 57 分に下流端に達したことになる。このときの流量は $q_4 = 4.2 (\times 10^{-4} \text{ m}^2/\text{sec})$ である。これ以後の流量を求めるには、上流端を雨水が出発する時刻

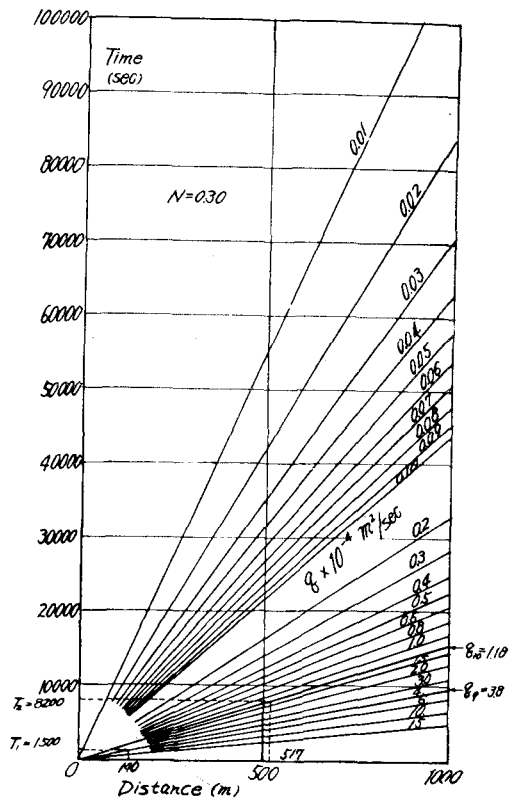


図-8 分割流域 III $r=0$ のときの標準特性直線

を23時から1時間ずらした時刻、24時の $r_2=1.7\text{ mm/hr}^{-1}$ から始め前記の操作をくり返し、24時より3時間55分後の3時55分に斜面下流端に到達し、 $q_5=4.7(\times 10^{-4}\text{ m}^2/\text{sec})$ の流量が求まる。

流下の途中で降雨が止んだ場合、その時の流量が下流端に到達する時間は図-8の標準特性直線を用いる。今上流端の出発時刻を4時にとつた場合を考える。図-7で $t=0$ ～1時間(3,600秒)の時間 $r=3.2 \text{ mm/hr}$ の線上をたどり、点 a' , b' , c' , d' を経て点 e' にいたる。この時刻7時から降雨が止む、そこで e' 点に対応する流量 $q_9=3.8(\times 10^{-4} \text{ m}^2/\text{sec})$ が残りの流下距離 $B-(x'_1+x'_2+x'_3)=845\text{m}-(130+225+350)\text{m}=140\text{m}$ を流下するに要する時間は、図-8によつて $q=3.8(\times 10^{-4} \text{ m}^2/\text{sec})$, $x=140\text{m}$ に対応する流下時間 $T_1=1,500\text{秒}(25\text{分})$ を求めれば、 $q_9=3.8(\times 10^{-4} \text{ m}^2/\text{sec})$ の流量が下流端に到達する時刻は7時より25分経過した7時25分である。流量 $q(\times 10^{-4} \text{ m}^2/\text{sec})$ は単位幅あたりであるから、流域の長さ $L=3,500\text{m}$ および流域模型を考慮し、結局 $Q=q \times 10^{-4} \times 2 \times 0.35 \times 10^4 = q \times 0.7 (\text{m}^3/\text{sec})$ となる。

上記の計算の結果を表-4に示した。

4.3 解析結果 3.2 に述べた有効雨量について、等価粗度係数の第一近似値として、 $O_P \geq 200 \text{ m}^3/\text{sec}$ の洪水に

表—4

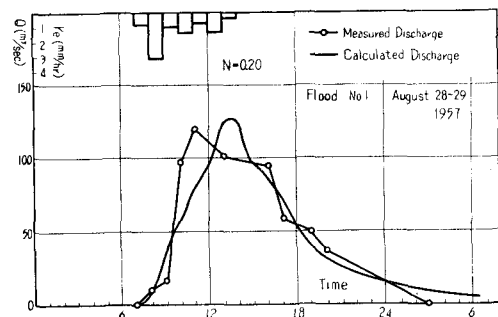
	日 時 分	$q \times 10^{-4}$ m ² /sec	Q m ³ /sec
q_1	25. 24.	0.37	0.3
q_2	26. 1.	1.24	0.9
q_3	2.	2.80	2.0
q_4	2.57	4.20	2.9
q_5	3. 55	4.70	3.3
q_6	4. 45	5.70	4.0
q_7	5. 39	6.10	4.3
q_8	6. 34	6.00	4.2
q_9	7. 25	3.80	2.7
q_{10}	9. 16	1.18	0.8
q_{11}	19. 38	0.05	0.04

対し $N=0.4$, $Q_P < 200 \text{ m}^3/\text{sec}$ に対し $N=0.3$ を用い、図-4 に示した分割 4 流域の流出量を合成し、 N の最適値を求めた。

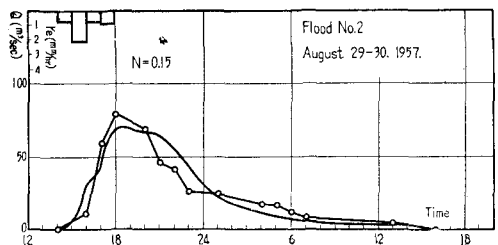
N の最適値は $Q_P=110 \sim 250 \text{ m}^3/\text{sec}$ で $N=0.20 \sim 0.30$, $Q_P=90 \text{ m}^3/\text{sec}$ 以下では $N=0.15$ であった。第4章第2節で述べた計算方法により、上記の粗度係数を用いて、各洪水についてそれぞれ計算した結果を図-9～図-14に示した。

5. 結論

- 1) 流出率と総雨量との関係は初期流量の大小によって



9



—10

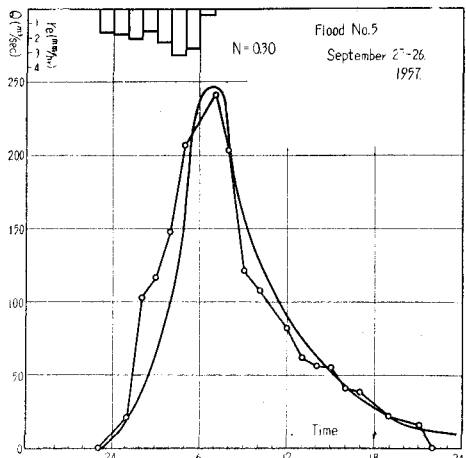


図-11

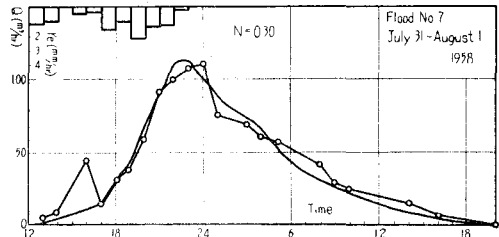


図-13

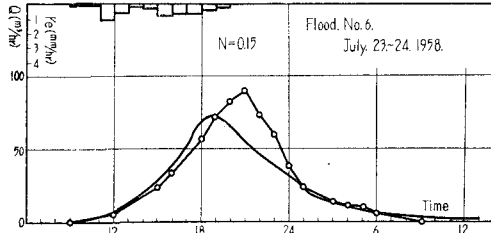


図-12

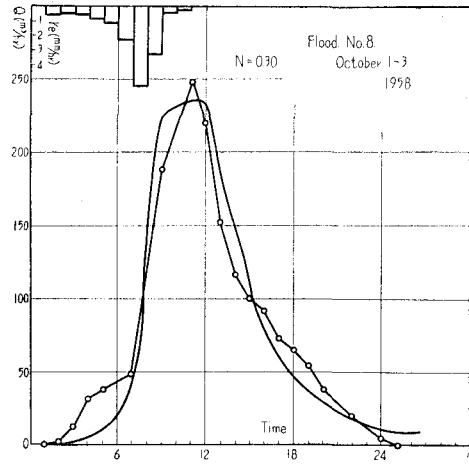


図-14

別れ、同一の総雨量に対して初期流量が大きい程流出率が大きい。

2) 流出曲線が1本の指數函数で表わし得ない豊平川流域のような小流域では、単位図法流出函数法などの線型解析法は不適当で特性曲線法が適当である。

3) 特性曲線法を用いるにあたり、流域を斜面のみと考

える簡便法を第4章に示した、豊平川では粗度係数 N の値を 0.15, 0.20, 0.30 にとり、図-9～図-14 に示すように好結果が得られた。

4) N の第1近似値の推定方法を第4章第1節に述べた、この方法によれば、 N の最適値の決定は非常に容易である。